



УДК 577.112.5

© 1993 В. М. Липкин \*, Л. А. Красовская,  
А. В. Муранов, А. Н. Пронин \*, И. П. Удовиченко,  
А. А. Юрковская, В. Е. Заграницкий

## ЛОКАЛИЗАЦИЯ В G<sub>s</sub>-БЕЛКЕ УЧАСТКОВ ВЗАИМОДЕЙСТВИЯ С АДЕНИЛАТИКЛАЗОЙ С ПОМОЩЬЮ КОНСТРУИРОВАНИЯ G<sub>s</sub>/G<sub>0</sub>-ХИМЕРНЫХ ФОРМ

Филиал Института биоорганической химии им. М. М. Шемякина  
и Ю. А. Овчинникова РАН, г. Пущино Московской обл.;

\* Институт биоорганической химии им. М. М. Шемякина  
и Ю. А. Овчинникова РАН, Москва

Ключевые слова: G-белок, аденилатциклаза, химерные белки.

кДНК, кодирующие три типа  $\alpha$ -субъединиц GTP-связывающих белков G<sub>s</sub> и G<sub>0</sub> (короткой формы  $\alpha_s$  с Asp-Ser в положениях 71—72, длинной формы  $\alpha_s$  с вставкой 16 аминокислотных остатков вместо Asp-Ser (71—72), обеих из мозга быка, и  $\alpha_0$  из мозжечка быка), а также ряд их химерных форм, полученных методами генной инженерии, клонированы в плазмидный вектор на основе pGEM-2 под контроль промотора фага SP6. Исследован ряд функциональных свойств  $\alpha$ -субъединиц, полученных в результате транскрипции и трансляции этих кДНК *in vitro*: активация аденилатциклазы, ADP-рибозилирование коклюшным токсином, ограниченный нуклеотидзависимый трипсинолиз. Картированы участки полипептидной цепи  $\alpha_s$ , необходимые для активации аденилатциклазы. Взаимодействующий с эффектором домен  $\alpha_s$  включает фрагменты полипептидной цепи 235—294 и 337—356 (координаты по длинной форме  $\alpha_s$ ).

GTP-связывающие белки (G-белки) играют ключевую роль в трансмембранный передаче биологических сигналов от рецепторов на цитоплазматической мемbrane к эффекторным белкам [1—3]. Специфичность поведения G-белков в основном определяется их  $\alpha$ -субъединицами в составе гетеротримера  $\alpha\beta\gamma$ . Известно несколько различных типов  $\alpha$ -субъединиц:  $\alpha_s$  [4],  $\alpha_0$  [5], как минимум три  $\alpha_i$  [6] и ряд других [3]. Все эти  $\alpha$ -субъединицы проявляют высокую степень гомологии аминокислотной последовательности как между собой, так и с другими GTP-связывающими белками (такими, как продуктprotoонкогена *p21ras* и фактор элонгации трансляции EF-Tu [7]), связывают гуаниловые нуклеотиды, взаимодействуют с комплексами своих  $\beta\gamma$ -субъединиц, гидролизуют GTP, взаимодействуют с рецепторами и эффекторными белками и т. д. Несмотря на многочисленные исследования [8—14], детальная функциональная топография полипептидных цепей  $\alpha$ -субъединиц G-белков в настоящее время далека от окончательного выяснения. Для изучения вопроса о том, какая часть полипептидной цепи  $\alpha$ -субъединицы G-белка важна для взаимодействия

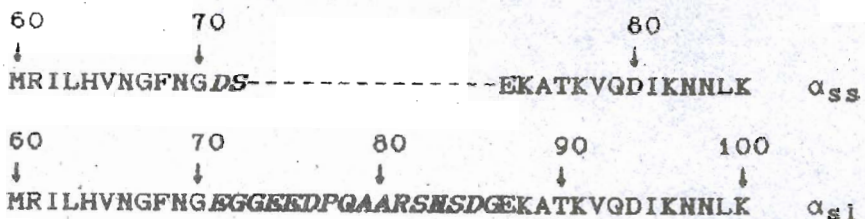


Рис. 1. Сравнение аминокислотных последовательностей длинной ( $\alpha_{ss}$ ) и короткой ( $\alpha_{ss}$ ) сплайсинговых форм  $\alpha$ -субъединицы белка G<sub>s</sub> из мозга быка [4]

с другим компонентом системы передачи биологического сигнала, перспективным представляется конструирование химерных белков. Этот подход был успешно реализован в ряде недавно опубликованных работ [11, 12, 15—18]. В данной работе описано конструирование  $\alpha_s/\alpha_0$ -химерных генов, экспрессия *in vitro* и исследование функциональных свойств  $\alpha_s$ ,  $\alpha_0$  и их химерных форм.

### Клонирование и мутагенез

кДНК субъединиц  $\alpha_s$  и  $\alpha_0$  выделены из клонотек кДНК из мозга и мозжечка быка соответственно. кДНК короткой ( $\alpha_{ss}$ ) и длинной ( $\alpha_{sl}$ ) форм субъединицы  $\alpha_s$  (являющиеся результатом альтернативного сплайсинга одной пре-мРНК [4], рис. 1), как и кДНК  $\alpha_0$  [5], были клонированы в плазмидный вектор *pG2S6-I* под контроль промотора фага SP6 с синтетическим рибосомсвязывающим участком [19]. Дополнительные сайты эндонуклеаз рестрикции *Bam*H I и *Pvu*II вводились в открытую рамку считывания гена  $\alpha_0$  методом олигонуклеотиднаправленного мутагенеза. Введение сайта *Bam*H I в ген  $\alpha_0$  не привело к заменам аминокислотных остатков; в случае введения сайта *Pvu*II произошли замены остатков Glu-298 и Asp-299 на Ala (рис. 2). Последующий анализ функциональной активности продукта этого мутантного гена  $\alpha_0$  не выявил каких-либо отличий от  $\alpha_0$  дикого типа (данные не приведены). кДНК химерных  $\alpha$ -субъединиц получали путем взаимной перестановки гомологичных рестриктных фрагментов, как указано в таблице. Схематические масштабные изображения полипептидов, кодируемыми генами  $\alpha_{ss}$ ,  $\alpha_{sl}$ ,  $\alpha_0$ , а также сконструированными химерными кДНК, приведены на рис. 3, частичные аминокислотные последовательности некоторых химерных  $\alpha$ -субъединиц — на рис. 2.

### Трансляция *in vitro*

На основе описанных выше плазмидных ДНК синтезировали мРНК с помощью РНК-полимеразы фага SP6. Полученную мРНК транслировали *in vitro* в лизате из ретикулоцитов кролика (LR) и экстракте из зародышей пшеницы (WGE) с добавлением <sup>14</sup>C-меченых аминокислот. Оптимальная концентрация мРНК составила 200 мкг на 1 мл трансляционной смеси. Определявшийся по включению радиоактивного предшественника выход продуктов трансляции *in vitro* сильно различался в использовавшихся системах и составил 2—3 мкг на 1 мл LR и 20—30 мкг на 1 мл WGE. По данным гель-электрофореза в присутствии додецилсульфата натрия (SDS), в случае трансляции в LR (рис. 4) практически весь синтезированный *de novo* белок был представлен гомогенной полосой с электрофоретической подвижностью, соответствовавшей ожидаемой. В то же время в результате трансляции в WGE образовывалось большое количество продуктов с меньшей, чем ожидалось, молекулярной массой (рис. 4), что могло быть результатом как преждевре-

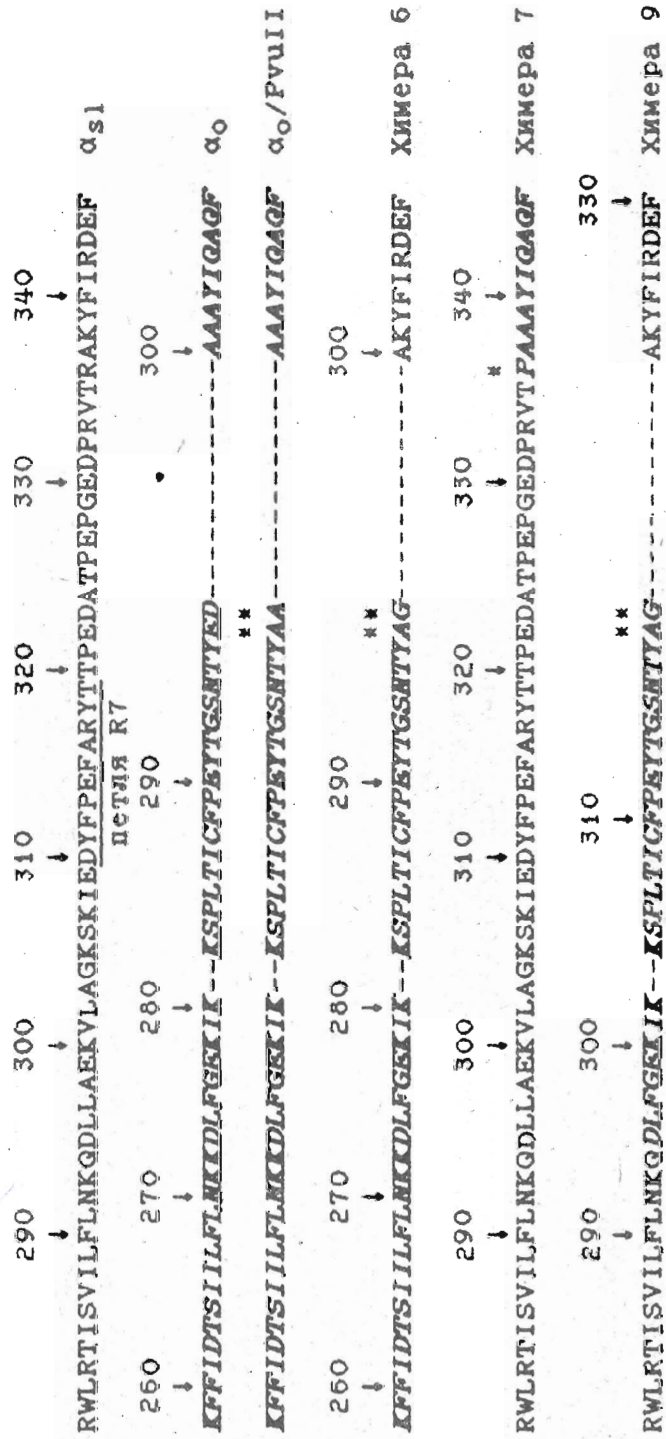
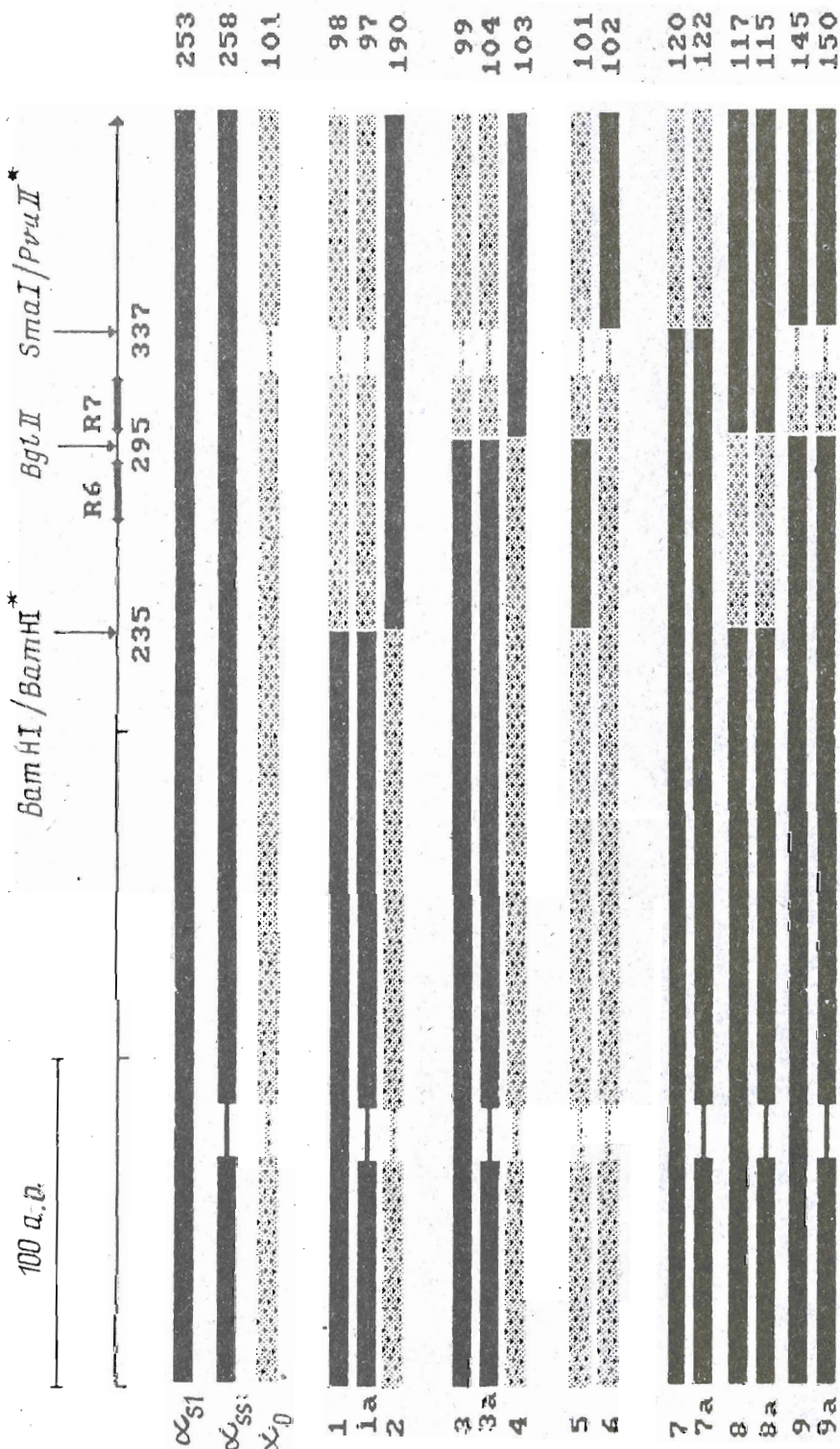


Рис. 2. Аминокислотные последовательности субъединиц  $\alpha_{s1}$ ,  $\alpha_0$  и их химер 6, 7 и 9 в области 280—345  $\alpha_{s1}$ . Последовательности, соответствующие  $\alpha_0$ , напечатаны жирным шрифтом. Звездочками отмечены аминокислотные остатки, появившиеся в результате направленного мутагенеза или конструирования химер



**Структурный состав белков  $\alpha_{sl}$ ,  $\alpha_{ss}$ ,  $\alpha_0$  и их химерных форм**

Белок	Сайт рестрикции, по которому получена химера			Номера АК-остатков в химере, полученные из			Размер химеры, а.о.
	$\alpha_{sl}$	$\alpha_{ss}$	$\alpha_0$	$\alpha_{sl}$	$\alpha_{ss}$	$\alpha_0$	
$\alpha_{sl}$	—	—	—	1—394	—	—	394
$\alpha_{ss}$	—	—	—	—	1—380	—	380
$\alpha_0$	—	—	—	—	—	1—354	354
1	BamHI	—	BamHI *	1—234	—	213—354	376
1a	—	BamHI	BamHI *	—	1—220	213—354	362
2	BamHI	—	BamHI *	235—394	—	1—212	372
3	BglII	—	BglII	1—294	—	273—354	376
3a	—	BglII	BglII	—	1—280	273—354	362
4	BglII	—	BglII	295—394	—	1—272	372
5	BamHI BglII	—	BamHI * BglII	235—294	—	1—212 273—354	354
6	SmaI	—	PvuII *	337—394	—	1—298	357
7	SmaI	—	PvuII *	1—335	—	300—354	391
7a	—	SmaI	PvuII *	—	1—321	300—354	377
8	BamHI BglII	—	BamHI * BglII	1—234 295—394	—	213—272	394
8a	BglII	BamHI	BamHI * BglII	295—394	1—220	213—272	380
9	BglII SmaI	—	BglII PvuII *	1—294 337—394	—	273—298	379
9a	SmaI	BglII	BglII PvuII *	337—394	1—280	273—298	365

\* Сайты эндонуклеаз рестрикции, введенные в ген  $\alpha_0$  методом олигонуклеотиднаправленного мутагенеза.

менной терминации трансляции, так и ее инициации с внутренних кодонов метионина. Таким образом, трансляция  $\alpha$ -субъединиц G-белков *in vitro* в WGE гораздо менее специфична, чем в LR. Эффективность трансляции мРНК химерных  $\alpha$ -субъединиц была аналогична таковой в случае  $\alpha_{ss}$ ,  $\alpha_{sl}$  и  $\alpha_0$  (данные не приведены).

Рис. 3. Схематическое масштабное изображение субъединиц  $\alpha_{sl}$ ,  $\alpha_{ss}$ ,  $\alpha_0$  и сконструированных на их основе химерных  $\alpha$ -субъединиц G-белков и данные об активации ими аденилаткиназы. Гомологичные участки выровнены друг относительно друга. Тонкими линиями обозначены пропуски в структуре. Координаты соответствуют аминокислотной последовательности  $\alpha_{sl}$ . Области, предположительно формирующие петли R6 и R7 [7], обозначены на координатной линейке. Сайты эндонуклеаз рестрикции в кодирующей последовательности кДНК, использовавшиеся для конструирования химер, обозначены над координатной линейкой (звездочкой отмечены сайты, введенные в кДНК  $\alpha_0$  методом олигонуклеотиднаправленного мутагенеза, см. таблицу). Цифры справа соответствуют уровню активации аденилаткиназы (%). За 100% активации принят базальный уровень активности аденилаткиназы в контролльном эксперименте, составивший 620 пмоль cAMP/(мг белка · мин).

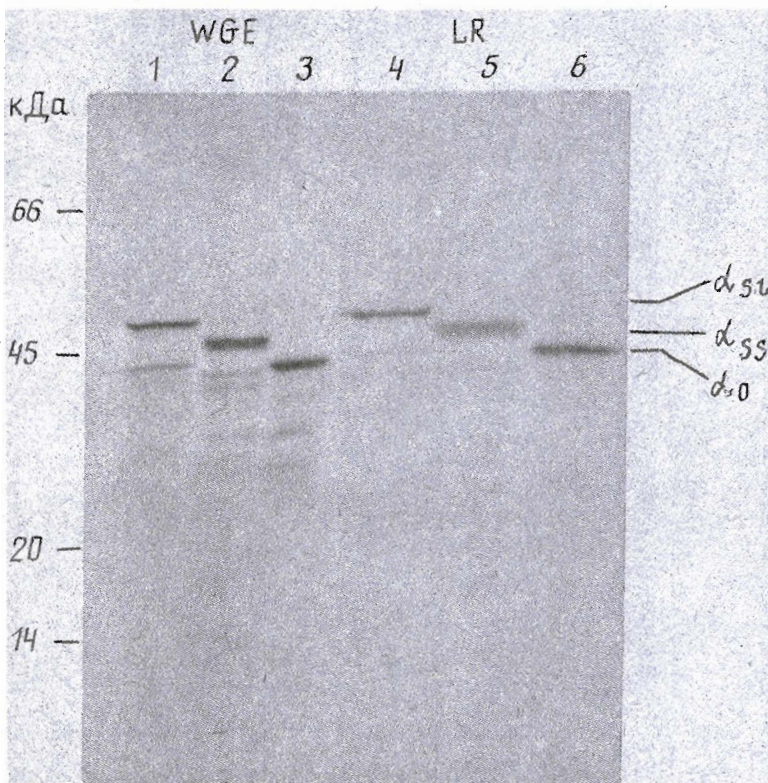


Рис. 4. Авторадиограмма полиакриламидного геля после электрофоретического разделения в присутствии SDS  $^{14}\text{C}$ -меченых продуктов трансляции *in vitro* мРНК  $\alpha$ -субъединиц G-белков.  $\alpha_{\text{s}1}$  (1,4),  $\alpha_{\text{ss}}$  (2,5) и  $\alpha_0$  (3,6) в WGE и LR

#### *Определение влияния на аденилатциклазу транслированных *in vitro* субъединицы $\alpha_s$ и химерных $\alpha$ -субъединиц*

Препарат свободной от эндогенного белка  $G_s$  аденилатциклазы из мозга быка с базальной активностью фермента 620 пмоль cAMP/(мг белка · мин) активировался при добавлении  $G_s$ . Зависимость активности аденилатциклазы от количества добавленного  $G_s$  имела вид типичной кривой насыщения с выходом на плато при активности 6000 пмоль cAMP/(мг белка · мин) при добавлении 100 нг  $G_s$ . Достоверно определялись нанограммовые количества  $G_s$ . Влияние на активность аденилатциклазы субъединицы  $\alpha_s$  и химерных  $\alpha$ -субъединиц, полученных в результате трансляции *in vitro*, определялось непосредственно в аликоватах трансляционной смеси. Наблюдалась активация аденилатциклазы гуанилилимидодифосфатом ( $\text{Gpp}(\text{NH})\text{p}$ ) или NaF при добавлении транслированного *in vitro* белка  $\alpha_s$  (рис. 5). Сплайсинговые формы  $\alpha_s$  ( $\alpha_{\text{ss}}$  и  $\alpha_{\text{s}1}$ ) практически не различались по способности к активации. Активация транслированными *in vitro*  $\alpha_s$  была в 3–5 раз выше базального уровня при использовании LR и лишь в 1,5–2 раза выше в случае трансляции в WGE. Ни одна из этих трансляционных смесей (WGE и LR) без добавления мРНК  $\alpha_s$  не активировала аденилатциклазу. Выход функционально активных  $\alpha_s$  составил 2–3 мкг на 1 мл трансляционной смеси для обеих использовавшихся систем (LR и WGE). Таким образом, около 90% G-белка, синтезированного в WGE, функционально неактивно, в то время как практически весь синтезированный в LR *de novo* белок

A, отн.ед.

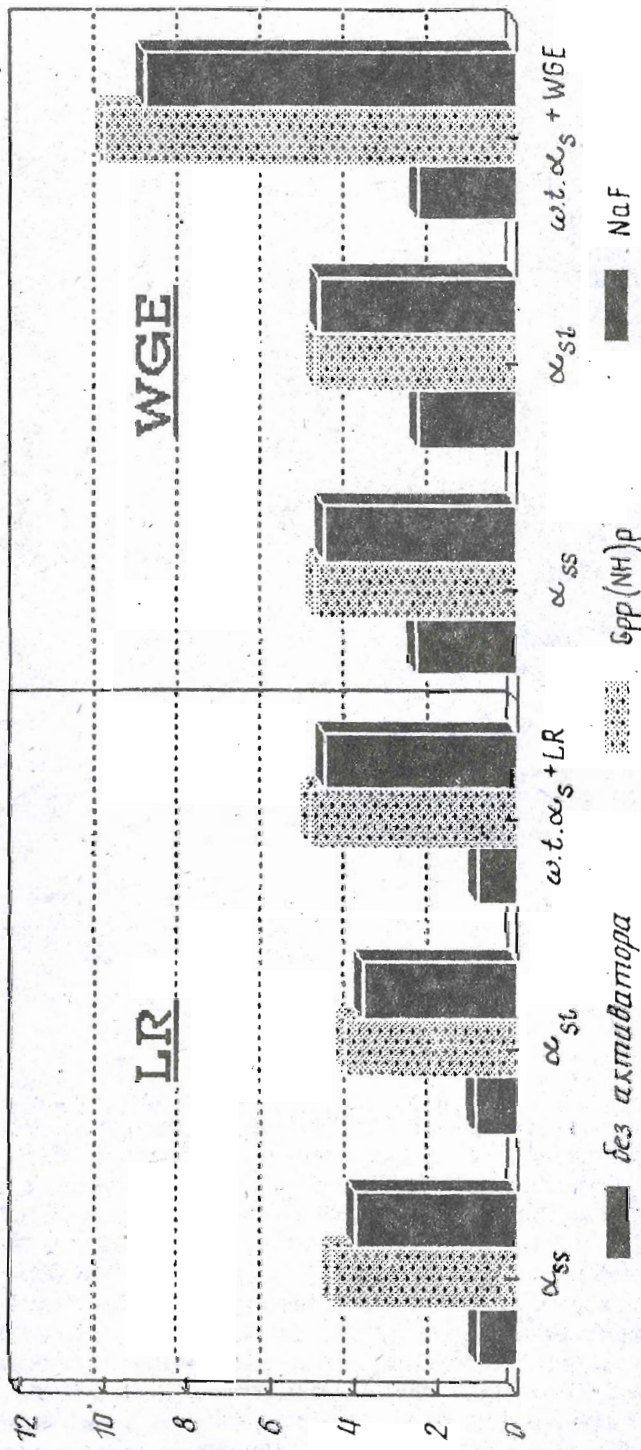


Рис. 5 Влияние  $\alpha_{ss}$  и  $\alpha_{st}$  синтезированных в разных системах трансляции (LR и WGE), на активацию очищенной от эндогенного Г-аденилаткиназы в отсутствие активаторов и в присутствии Gpp(NH)<sub>p</sub> или NaF, w. t.  $\alpha_s$  —  $\alpha$ -субъединица G<sub>s</sub>, выделенная из мозга мыши (добавлялась в качестве контроля к трансляционным смесям без мРНК в концентрации 2 мкг/мл). По оси ординат — активность аденилаткиназы в относительных единицах. Базальная активность (1 отн.ед.) составила 620 пкмоль cAMP/(мг белка·мин)

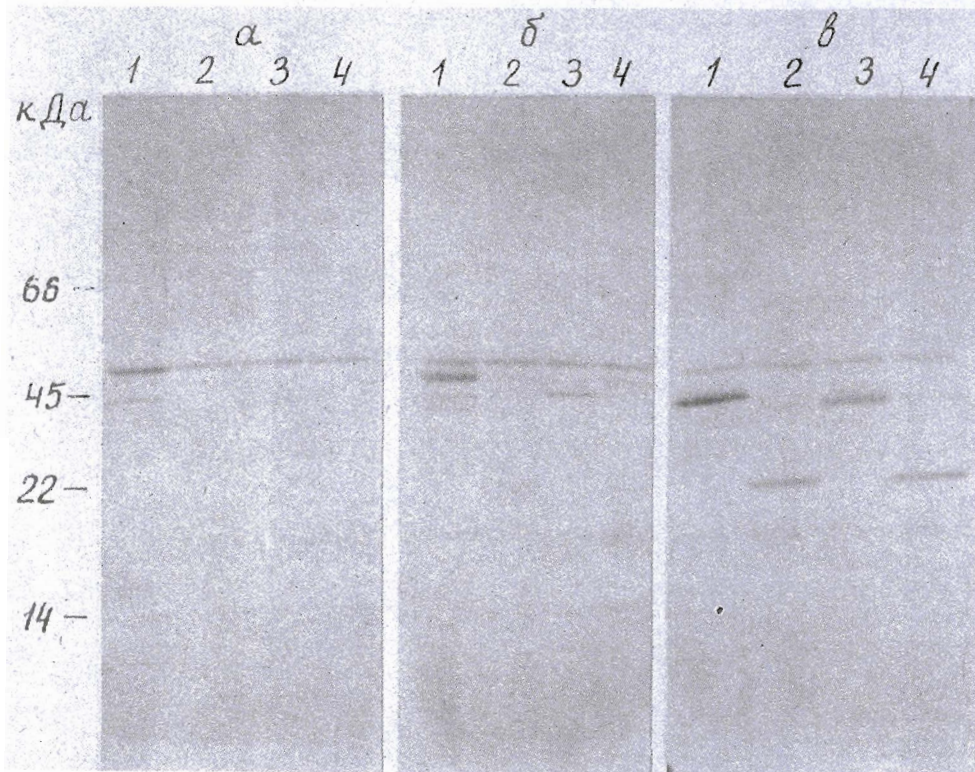


Рис. 6. Авторадиограмма нитроцеллюлозной мембраны после переноса  $^{14}\text{C}$ -меченых электрофоретически разделенных в полиакриламидном геле в присутствии SDS продуктов ограниченного трипсинового протеолиза транслированных в LR  $\alpha$ -субъединиц G-белков  $\alpha_{ss}$  (α),  $\alpha_{sl}$  (β) и  $\alpha_0$  (γ), проведенного в присутствии  $10^{-4}$  М GDP (2), GTP $\gamma$ S (3) или GTP (4); 1 — контроль (без добавления трипсина)

представлен полностью функционально активными  $\alpha_s$ . Способность сконструированных химерных  $\alpha$ -субъединиц G-белков активировать аденилаткиназу приведена на рис. 3.

#### *Ограниченный нуклеотидзависимый протеолиз субъединиц $\alpha_{ss}$ , $\alpha_{sl}$ и $\alpha_0$*

Ограниченный трипсиновый протеолиз G-белков в присутствии гуаниловых нуклеотидов или их аналогов является надежным способом подтверждения нативности их конформации. Так, выделенный из мозжечка быка белок  $\alpha_0$  с кажущейся молекулярной массой 39 кДа при действии трипсина в присутствии  $10^{-4}$  М негидролизуемых аналогов GTP образует практически со 100% выходом полипептид массой 37 кДа и в тех же условиях, но в присутствии GDP — два менее стабильных продукта с массами 20 и 14 кДа [5]. В отсутствие гуаниловых нуклеотидов в процессе протеолиза наблюдается неспецифическая деградация  $\alpha_0$ . На рис. 6 представлены результаты экспериментов по ограниченному протеолизу  $\alpha_{ss}$ ,  $\alpha_{sl}$  и  $\alpha_0$ , синтезированных *in vitro* в LR. Лишь незначительная часть полученного в результате трансляции в WGE  $\alpha_0$  образовывала при трипсинолизе продукт с массой 37 кДа в присутствии гуанозин-5'-( $\gamma$ -тиотрифосфата) (GTP $\gamma$ S) и продукт с массой 20 кДа в присутствии GDP (данные не приведены). С другой стороны, практически весь продукт с массой 39 кДа в результате трансляции мРНК  $\alpha_0$  *in vitro* в системе LR конвертировался в полипептид с молекулярной

массой 37 кДа при ограниченном протеолизе трипсином в присутствии GTP $\gamma$ S и в продукт с молекулярной массой 20 кДа в присутствии GTP или GDP (рис. 6). Это подтверждает, что транслированный в LR  $\alpha_0$  имеет нативную конформацию и связывает гуаниловые нуклеотиды аналогично природному  $\alpha_0$ . Отсутствие в гидролизате трипсином в присутствии GDP полипептида с молекулярной массой 14 кДа можно объяснить низким сродством этого продукта к нитроцеллюлозе, его большей лабильностью и низкой удельной радиоактивностью. Ограниченный протеолиз трипсином продуктов трансляции мРНК  $\alpha_{s1}$  и  $\alpha_{ss}$  в аналогичных условиях также дает специфические пептиды, разные в зависимости от добавленного гуанилового нуклеотида, что свидетельствует о нативности их конформации (рис. 6).

#### *ADP-рибозилирование транслированного in vitro белка $\alpha_0$ коклюшным токсином*

Транслированный in vitro белок  $\alpha_0$  является субстратом ADP-рибозилирования коклюшным токсином (данные не приведены), что свидетельствует не только о нативности его конформации и способности связывать и гидролизовать GTP, но и о взаимодействии с комплексом  $\beta\gamma$ -субъединиц. К сожалению, как WGE, так и LR ингибируют реакцию переноса ADP-рибозы на  $\alpha$ -субъединицу G-белка, что сильно затрудняет количественную оценку выхода нативного  $\alpha_0$  в процессе трансляции in vitro. Однако ориентировочный выход нативного  $\alpha_0$  был приблизительно одинаков в случае обеих систем (WGE и LR) и был не ниже 2 мкг/мл, что согласуется с оценками, проведенными другими методами (см. выше). Таким образом, основная часть получаемых в процессе трансляции in vitro  $\alpha$ -субъединиц G-белков представлена нативными молекулами в случае LR и ненативными в случае WGE.

#### *Участки полипептидной цепи субъединицы $\alpha_s$ , принимающие участие во взаимодействии с аденилатциклазой*

Степени активации аденилатциклазы химерами 1, 1a и 2 (рис. 3) указывают на важность C-концевой части белка  $\alpha_s$  в регуляции активности аденилатциклазы. Замена N-концевой части  $\alpha_{s1}$  (аминокислотные остатки 1—234) гомологичной ей областью  $\alpha_0$  (1—200, химера 2) практически не влияет на способность гибридной молекулы активировать аденилатциклазу, в то время как аналогичная замена C-конца  $\alpha_s$  (химеры 1 и 1a) приводит к полной потере этой способности. Сходные результаты были получены Борном [18] в исследованиях аналогичных химер, C-концевая часть которых была заменена соответствующим участком  $\alpha$ -субъединицы  $G_i$ -белка. В то же время Джонсон [18] показал, что замещение на C-конце  $\alpha_s$  38 аминокислотных остатков (357—394) гомологичной областью  $\alpha_i$  не влияло на стимуляцию гибридной молекулой аденилатциклазы. Таким образом, район  $\alpha_s$  между аминокислотными остатками 235 и 356, по-видимому, содержит все детерминанты взаимодействия с аденилатциклазой. Следует отметить, что в этом районе находится еще один функционально важный для  $\alpha_s$  (равно как и для других G-белков) участок: консервативный G-4-район, принимающий участие в связывании GTP [20]. Поэтому при интерпретации стимулирующих свойств химерных  $\alpha$ -субъединиц важно исключить влияние замен на способность химер связывать GTP и подвергаться GTP-индукционному конформационному изменению, которое сопровождает стимуляцию эффекторного белка. Как описано выше, связывание  $\alpha$ -субъединицами негидролизуемых аналогов GTP предотвращает их расщепление трипсином по консервативному остатку аргинина (Arg-232 в случае  $\alpha_s$ ) и может служить надежным критерием сохранения белковой молекулой нативной конформации [21—23]. Обработка химерных белков трипсином давала характерные для нативной молекулы продукты протеолиза: в отсутствие GTP $\gamma$ S трипсин гидролизовал мутантные белки до мелких фрагментов, но в присутствии GTP $\gamma$ S

отщеплял лишь короткий пептид с их N-конца, оставляя большую часть молекулы интактной (данные не приведены).

При дальнейшей детализации участков взаимодействия субъединицы  $\alpha_s$  с аденилаткиназой мы руководствовались моделью пространственной структуры  $\alpha$ -субъединиц G-белков, предложенной Холлбруком и Кимом [7] на основании сопоставления аминокислотных последовательностей пяти G-белков с последовательностью кодируемого protoонкогеном *p21ras* полипептида, трехмерная структура которого в GDP-связанной форме установлена. Согласно этой модели, последовательности петель R6 или R7 — наиболее вероятные участки взаимодействия с эффекторным белком. Для субъединицы  $\alpha_{ss}$  (координатами которой будем оперировать в дальнейшем) границы этих районов совпадают с последовательностями 272—282 (R6) и 310—319 (R7). Изучение влияния этих участков на стимулирующую аденилаткиназу активность гибридных белков позволило разделить полученные химеры на две группы (рис. 3): активирующие аденилаткиназу (7, 7a, 8, 8a, 9 и 9a) и не активирующие ее (3, 3a, 4, 5 и 6).

Функциональные свойства химерных белков второй группы (отсутствие активации аденилаткиназы) показывают, что ни одна из этих петель, находясь в составе гибридной молекулы даже как часть более протяженной последовательности, не сообщает им способности к активации в той мере, в какой ею обладает химера 2 (рис. 3), и, следовательно, ни одна из этих петель не является конкретным участком взаимодействия с аденилаткиназой. Вероятно, существует несколько контактирующих с аденилаткиназой сайтов на  $\alpha_s$ , которые разнесены в линейной последовательности области 235—356.

В то же время белки  $\alpha_s$ , в которых одна из петель (R6 или R7) была замещена гомологичной последовательностью  $\alpha_0$  (химеры 8, 8a, 9 и 9a), проявили сниженные (правда, до различной степени) стимулирующие свойства.

Данные по активации аденилаткиназы химерами 7 и 7a заставляют обратить внимание на участок  $\alpha_0$  337—356 (рис. 3), находящийся между петлей R7 и последними 38 C-концевыми аминокислотными остатками, которые, как было показано [16], не существенны для активации. Из рис. 3 видно, что стимулирующая активность снижена у четырех  $\alpha_s$ , в которых замещение разных аминокислотных последовательностей (235—294 у химер 8 и 8a и 337—356 у 7 и 7a) тем не менее вызывает практически одинаковый эффект. Это позволяет предположить, что участки  $\alpha_s$  235—294 и 337—356 в равной степени существенны для взаимодействия с аденилаткиназой. В пользу такого предположения свидетельствует и тот факт, что в химерах 5 и 6 ни участок  $\alpha_s$  235—294, ни участок  $\alpha_s$  337—356 в отдельности не сообщают химерному полипептиду способности активировать аденилаткиназу. К тому же относительно высокая в сравнении со всеми другими активность химер 9 и 9a, содержащих оба этих участка, позволяет сделать вывод об их совместном участии в образовании взаимодействующего с эффекторным белком домена.

Участок 295—336, содержащий предполагаемую петлю R7, по-видимому, не является существенно важным для взаимодействия с аденилаткиназой. Тот факт, что замещение этого участка в белке  $\alpha_s$  (химеры 9 и 9a, рис. 2 и 3) все же вызывает некоторое снижение в уровне активации, можно объяснить достаточно высоким различием последовательностей  $\alpha_s$  и  $\alpha_0$  в этой области. В белке  $\alpha_s$  в этом участке имеется вставка длиной 13 аминокислотных остатков (324—336, рис. 2), не имеющая гомологии ни с одним из известных G-белков. Отсюда следуют два возможных предположения: либо эта последовательность все же необходима для активации аденилаткиназы, но непосредственно с ней не контактирует, либо в этом участке полипептидные цепи  $\alpha_s$  и  $\alpha_0$  принимают разные конформации, что не может не повлиять на конформации соседних участков, непосредственно взаимодействующих с аденилаткиназой.

В этой связи интересно сравнить наши данные с данными, недавно опубликованными группой Гилмана [13]: ими было показано, что deleция этих 13 аминокислотных остатков в  $\alpha_{ss}$  приводит к нарушению нативной конформации

молекулы и, как следствие, к полной потере способности активировать аденилатцилазу в препарате мембран клеточной линии лимфомы S49cys<sup>-</sup> (дефицитной по  $\alpha_s$ ). В нашем случае (химеры 9 и 9a, рис. 2) делеция этих 13 аминокислотных остатков с одновременным замещением прилежащего с N-концевой стороны фрагмента 297—323 гомологичной последовательностью белка  $\alpha_0$  привела лишь к незначительному снижению уровня активации по сравнению с рекомбинантным  $\alpha_s$  (в 1,6 раза).

Таким образом, сравнение функциональных активностей созданных мутантных белков позволяет сделать вывод о роли двух участков полипептидной цепи субъединицы  $\alpha_s$  (235—294 и 337—356) в образовании домена, ответственного за взаимодействие с аденилатцилазой. Следует отметить, что границы установленных нами районов перекрываются с группами аминокислотных остатков, выявленных в исследованиях Берлот и Борна [12]. Применив метод гомологсканирующего мутагенеза, авторы заменили по возможности все (63 из 78) неидентичные аминокислотные остатки в районе 235—356  $\alpha_s$  соответствующими остатками  $\alpha_{12}$  и тестировали полученные мутантные белки в клетках линии COS-7 на способность стимулировать синтез cAMP. Этот подход позволил авторам обозначить четыре кластера аминокислотных остатков, замены которых приводили к снижению уровня синтеза cAMP. Три из них, I (Q236, N239 и D240), II (N261 и Q262) и III (W277, R280, L282, T284 и I285), совпадают с нашим участком 235—294, а IV (S349 — R356) — с нашим участком 337—356. Здесь необходимо обратить внимание на то, что напрямую сравнивать полученные нами результаты с результатами Берлота и Борна [12] нужно с известной степенью осторожности. Эффекторным белком, как  $\alpha_s$ , так и  $\alpha_0$ , является аденилатцилаза, в то время как, по последним данным [24],  $\alpha_0$  действует на  $\text{Ca}^{2+}$ -канал в цитоплазматической мембране. При этом известно, что  $\alpha_0$  с аденилатцилазой никак не взаимодействует [25]. Таким образом, в работе [12] выявлены аминокислотные остатки  $\alpha_s$ , замена которых ведет к нарушению активации аденилатцилазы этим белком, в то время как картированные нами области полипептидной цепи  $\alpha_s$  по необходимости обширнее, поскольку они формируют полный домен, взаимодействующий с эффекторным белком.

Поскольку гомология первичной структуры дает основания считать, что  $\alpha$ -субъединицы G-белков обладают в целом одинаковой пространственной структурой, можно предположить, что взаимодействующие с эффекторным белком аминокислотные остатки  $\alpha$ -субъединиц других G-белков будут обнаружены в районах, соответствующих областям 235—294 и 337—356  $\alpha_s$ . В этом отношении интересны результаты, полученные Хэмм с соавт. [14]: ими показано, что синтетический пептид, соответствующий фрагменту 293—314  $\alpha_t$  ( $\alpha$ -субъединицы трансдуцина, G-белка зрительного каскада с фосфодиэстеразой cGMP в качестве эффекторного белка) и гомологичный участку 337—356  $\alpha_{sb}$ , активирует фосфодиэстеразу в той же степени, как и нативный трансдуцин.

Полученные в нашей работе результаты говорят об одинаковой способности двух транслированных *in vitro* форм  $\alpha_s$ , длинной ( $\alpha_{sl}$ ) и короткой ( $\alpha_{ss}$ ), активировать аденилатцилазу. Это показывают эксперименты как с рекомбинантными белками дикого типа, так и с парами химерных молекул (7 и 7a, 8 и 8a, 9 и 9a — различия составляют лишь 2—5%). Возможно, биологическая роль совместного присутствия различных сплайсинговых форм  $\alpha_s$  в клетках (притом в тканеспецифических стехиометрических соотношениях [26], динамически сопряженных с клеточной дифференцировкой [27]) будет выяснена при изучении других биохимических свойств этих белков: GTP-азной активности, сродства к гуаниловым нуклеотидам, взаимодействия с  $\beta\gamma$ -субъединицами и т. п.

В заключение необходимо отметить, что в качестве систем экспрессии химерных  $\alpha$ -субъединиц G-белков и определения их функциональной активности нами были использованы трансляции и тестирование *in vitro*, тогда как в работах зарубежных коллег химерные конструкции экспрессировались *in vivo* [12, 15—18], причем в ряде случаев и их биохимические свойства определялись косвенно, по

уровню cAMP в экспрессирующих клетках [12]. Обе системы имеют свои преимущества и недостатки, исследования белков в каждой из них, и сравнение полученных результатов представляют отдельный интерес. Тем более показательно, что полученные нами и зарубежными коллегами данные согласуются друг с другом, что свидетельствует о перспективности трансляции *in vitro* для структурно-функциональных исследований G-белков.

### Экспериментальная часть

кДНК субъединиц  $\alpha_1$  и  $\alpha_0$  G-белков клонировали из клонотек кДНК аналогично описанному [28]. Все манипуляции с ДНК проводили по стандартным методикам, описанным в работе [29]. Олигонуклеотид направляемый мутагенез осуществляли по методике набора для мутагенеза (Amersham, Англия). Для введения сайтов эндонуклеаз рестрикции *Bam*HI и *Pvu*II в открытую рамку считывания гена  $\alpha_0$  использовали олигодезоксирибонуклеотиды, соответственно (5')AGAAGTGGATCCATAGCTTCGAGG и (5')ACCTATGCAGCTGCCGCCCT, синтезированные с помощью автоматического синтезатора 380A (Applied Biosystems, США). Во всех случаях мутагенеза и конструирования химерных генов полная нуклеотидная последовательность кДНК в открытой рамке считывания определялась модифицированным методом Сэнгера [30].

Транскрипцию *in vitro* осуществляли с помощью РНК-полимеразы фага SP6, выделенной по методу [31]. Транскрипцию и трансляцию *in vitro* в WGE проводили как описано [19, 32]. Трансляцию *in vitro* в LR осуществляли по методике [33] с изменениями. Смесь для трансляции содержала 25 mM HEPES (pH 7,5), 80 mM KCl, 400 мкМ MgCl<sub>2</sub>, 5 mM дитиотрейт, 1,2 mM ATP, 80 мкМ GTP, 8 mM креатинфосфат, 80 мкг/мл креатинфосфокиназы, 100 ед./мл ингибитора РНКаз из плаценты человека, 0,1 мкг/мл лейпептина, 0,1 мкг/мл ингибитора трипсина из сои, 50 мкмоль/л каждой из 20 аминокислот, 200 мкг/мл мРНК и 60% LR, выделенного по методике [19]. Трансляцию вели 1 ч при 30° С. Для получения радиоактивномеченых продуктов трансляции в трансляционные смеси добавляли [<sup>14</sup>C]лейцин с удельной активностью 0,2 Ки/ммоль (Amersham, Англия) вместо нерадиоактивного предшественника. Продукты трансляции анализировали гель-электрофорезом в присутствии SDS [34] с последующей радиоавтомографией геля.

Для определения активности препарата аденилаткиназы, свободной от эндогенного G<sub>s</sub>, выделяли как описано [35]. 20 мкл этого препарата, разведенного в соотношении 1 : 3 раствором, содержащим 25 mM трис-HCl (pH 7,8), 15 mM MgCl<sub>2</sub>, 0,2 M сахарозу, 0,1% Луброл RX, 1 mM EDTA (pH 7,8), 0,35 мг/мл фосфолипидов (P3544 фирмы Sigma, США) и 4 · 10<sup>-4</sup> M Gpp(NH)p или NaF, добавляли к 20 мкл раствора, содержащего G<sub>s</sub> или обладающие его активностью полипептиды и 3,3 · 10<sup>-5</sup> M форсколин (для повышения базальной активности аденилаткиназы). Смесь инкубировали 30 мин при 30° С, после чего в ней определяли активность аденилаткиназы как описано [36].

Предшественник для ADP-рибозилирования коклюшным токсином, [<sup>32</sup>P]никотинамидадениндинуклеотид ([<sup>32</sup>P]NAD), синтезировали по методике [37]. Коклюшный токсин предварительно активировали 15 мин при 37° С инкубацией в растворе, содержащем 20 mM трис-HCl (pH 8,0), 5 mM MgCl<sub>2</sub>, 10 mM дитиотрейт, 2 · 10<sup>-4</sup> M ATP. Реакционная смесь объемом 20—30 мкл содержала 20 mM трис-HCl (pH 8,0), 10 mM дитиотрейт, 0,1% Луброла RX, 10<sup>-4</sup> M GDP, 2 · 10<sup>-4</sup> M ATP, 10<sup>-4</sup> M [<sup>32</sup>P]NAD (около 10<sup>6</sup> имп/мин), 0,1—0,3 мкг токсина, 5 мкл трансляционной смеси LR (10—20 нг  $\alpha_0$ ) и 0,5—1 мкг комплекса  $\beta\gamma$ -субъединиц [38]. По окончании реакции (30° С, 1 ч) белки осаждали ацетоном и анализировали гель-электрофорезом в присутствии SDS с последующей авторадиографией высущенного геля.

Для проведения ограниченного трипсинового протеолиза G-белков трипсин обрабатывали специфическим ингибитором химотрипсина, L-1-хлор-3-(4-тозиламино)-4-фенил-2-бутаноном, в концентрации 5 мг/мл. Реакционная смесь объемом 36 мкл содержала 10 мкл LR после трансляции мРНК  $\alpha$ -субъединицы

(около 20 нг нативного G-белка), 0,02 М трис-HCl (pH 8,0), 0,01 М MgCl<sub>2</sub>, 0,075% Луброла RX, 0,75 мМ дитиотрейт, 0,75 мМ EDTA, 0,833% трипсина и 0,83 мМ GTP, GTPγS или GDP. После 30 мин инкубации при 30° С добавляли соевый ингибитор до концентрации 38,5 мкг/мл и продолжали инкубацию при той же температуре еще 5 мин. Смесь высушивали, продукты протеолиза разделяли гель-электрофорезом в присутствии SDS, переносили на нитроцеллюлозу и анализировали с помощью авторадиографии.

Авторы выражают признательность А. А. Бухарову (ФИБХ РАН, Пущино) и В. З. Слепаку (Калифорнийский университет, США) за помощь на отдельных этапах работы, В. Л. Воейкову (МГУ, Москва) за плодотворное обсуждение результатов. Работа выполнена при финансовой поддержке программы «Геном человека».

## СПИСОК ЛИТЕРАТУРЫ

1. Johnson G. L., Dhanasekaran N. // Endo. Rev. 1989. V. 10. P. 317—333.
2. Stryer L., Bourne H. // Annu. Rev. Cell. Biol. 1986. V. 2. P. 391—419.
3. Simon M., Strathman M., Gautam N. // Science. 1991. V. 252. № 5007. P. 802—808.
4. Robishaw J. D., Smigel M., Gilman A. G. // J. Biol. Chem. 1986. V. 261. № 21. P. 9587—9590.
5. Ovchinnikov Yu. A., Slepak V. Z., Pronin A. N., Shlensky N. B., Voeikov V. L., Lipkin V. M. // FEBS Lett. 1987. V. 226. № 1. P. 91—95.
6. Itoh H., Toyama R., Kozasa T., Tsukamoto T., Matsuoka M., Kaziro Y. // J. Biol. Chem. 1988. V. 263. № 14. P. 6656—6664.
7. Hollbrook S. R., Kim S.-H. // Proc. Nat. Acad. Sci. USA. 1989. V. 86. № 6. P. 1751—1755.
8. Landis C. A., Masters S. B., Spada A., Pace A. M., Bourne H. R., Vallar L. // Nature. 1989. V. 340. № 6236. P. 692—696.
9. Masters S. B., Miller R. T., Chi M.-H., Chang Fu.-H., Beiderman B., Lopez N. G., Bourne H. R. // J. Biol. Chem. 1989. V. 264. № 26. P. 15467—15474.
10. Woon C. W., Heasley L., Osawa S., Johnson G. L. // Biochemistry. 1989. V. 28. № 11. P. 4547—4551.
11. Липкин В. М., Бухаров А. А., Красовская Л. А., Муранов А. В., Пронин А. Н., Скиба Н. П., Юрловская А. А., Загоричный В. Е. // Сенсорные системы. 1992. Т. 6. № 3. С. 43—46.
12. Berlot C., Bourne H. // Cell. 1992. V. 68. № 5. P. 911—922.
13. Itoh H., Gilman A. // J. Biol. Chem. 1991. V. 266. № 24. P. 16226—16231.
14. Rarick H., Artemyev N., Hamm H. // Science. 1992. V. 256. № 5058. P. 1031—1033.
15. Osawa S., Dhanasekaran N., Woon C. W., Johnson G. L. // Cell. 1990. V. 63. № 4. P. 697—706.
16. Woon C. W., Soparkar S., Heasley L., Johnson G. L. // J. Biol. Chem. 1989. V. 264. № 10. P. 5687—5693.
17. Osawa S., Heasley L. E., Dhanasekaran N., Gupta S. K., Woon C. W., Berlot C., Johnson G. L. // Mol. Cell Biol. 1990. V. 10. P. 2931—2940.
18. Masters S. B., Sullivan K. A., Miller R. T., Beiderman B., Lopez N. G., Ramachandran J., Bourne H. R. // Science. 1988. V. 241. № 4864. P. 448—451.
19. Zozulya S. A., Gurevich V. V., Zvyaga T. A., Shirokova E. P., Dumler T. L., Garnovskaya M. N., Natochin M. Yu., Shmukler B. E., Budalov P. R. // Prot. Eng. 1990. V. 3. № 5. P. 453—458.
20. Bourne H., Sanders D., McCormick F. // Nature. 1991. V. 349. № 6305. P. 117—127.
21. Fung B. K.-K., Nash C. R. // J. Biol. Chem. 1983. V. 258. № 17. P. 10503—10510.
22. Hurley J. B., Simon M. J., Teplow D. B., Robishaw J. D., Gilman A. // Science. 1984. V. 226. № 4676. P. 860—862.
23. Miller R. T., Masters S. B., Sullivan K. A., Beiderman B., Bourne H. R. // Nature. 1988. V. 334. № 6184. P. 712—715.
24. Hesheler J., Rosenthal W., Trauwein W., Schultz G. // Nature. 1987. V. 325. № 6103. P. 445—447.
25. Воейков В. Л., Слепак В. З., Пронин А. Н. // Биол. мембранны. 1986. Т. 3. № 11. P. 1105—1115.
26. Mumby S., Kahn R., Manning D., Gilman F. // Proc. Nat. Acad. Sci. USA. 1986. V. 83. № 2. P. 265—269.
27. Larner A., Ross T. // J. Biol. Chem. 1981. V. 256. № 18. P. 9551—9557.
28. Ovchinnikov Yu. A., Gubanov V. V., Khrantsov N. V., Ishchenko K. A., Zagranichny V. E., Muradov K. G., Shubaeva T. M., Lipkin V. M. // FEBS Lett. 1987. V. 223. P. 169—173.

29. Maniatis T., Fritch E. F., Sambrook J. // Molecular Cloning. N. Y.: Cold Spring Harbor Laboratory Press, 1982.
30. Sanger F., Nicklen S., Coulson A. R. // Proc. Nat. Acad. Sci. USA. 1977. V. 74. № 12. P. 5463—5467.
31. Zozulya S. A., Shirokova E. P., Gurevich V. V., Kharitonov S. I., Udovichenko I. P., Zvyaga T. A., Natochin M. Yu., Badalov P. R. // Patent Application USSR. 1988. № 443—2063/31—13/078837.
32. Erickson A. H., Blobel G. // Meth. Enzymol. 1983. V. 96. P. 38—49.
33. Jackson R. J., Hunt T. // Meth. Enzymol. 1983. V. 96. P. 50—75.
34. Laemmli U. K. // Nature. 1970. V. 227. № 5259. P. 680—685.
35. Strittmatter S., Neer E. // Proc. Nat. Acad. Sci. USA. 1980. V. 77. № 11. P. 6344—6348.
36. Salomon Y., Londos C., Rodbell M. // Anal. Biochem. 1974. V. 58. № 2. P. 541—548.
37. Cassel D., Feuerer T. // Proc. Nat. Acad. Sci. USA. 1978. V. 75. № 6. P. 2669—2673.
38. Bokoch G., Katada T., Northrop J., Ui M., Gilman A. // J. Biol. Chem. 1984. V. 259. № 6. P. 3560—3567.

Поступила в редакцию  
6.V.1993

V. M. Lipkin \*, L. A. Krasovskaya, A. V. Mouranov,  
A. N. Pronin \*, I. P. Udovichenko, A. A. Yurovskaya,  
V. E. Zagranichny

## LOCALIZATION OF THE $G_s$ -PROTEIN SITES INTERACTING WITH ADENYLYL CYCLASE BY $G_s/G_0$ CHIMERAS DESIGN

Branch of M. M. Shemyakin and Yu. A. Ovchinnikov Institute of Bioorganic Chemistry, Russian Academy of Sciences, Pushchino, Moscow Region;

\* M. M. Shemyakin and Yu. A. Ovchinnikov Institute of Bioorganic Chemistry, Russian Academy of Sciences, Moscow

cDNAs coding for three types of  $\alpha$ -subunits of GTP-binding proteins  $G_s$  and  $G_0$  (a short form of  $\alpha_s$  with Asp-Ser in positions 71 and 72, a long form of  $\alpha_s$  with the insertion of 16 amino acid residues instead of Asp-Ser (71—72) — both from bovine brain, and  $\alpha_0$  from bovine cerebellum) as well as some chimeric  $\alpha_s/\alpha_0$  genes were cloned into a modified pGEM-2 plasmid vector under the control of the SP6 promoter. All the genes were *in vitro* transcribed and translated, and some functional properties of the resulting proteins were determined, such as adenylyl cyclase activation, ADP-ribosylation with pertussis toxin, limited nucleotide-dependent trypsin proteolysis. Parts of the  $\alpha_s$  polypeptide chain necessary for the activation of adenylyl cyclase were mapped. The  $\alpha_s$  domain interacting with adenylyl cyclase is formed by the  $\alpha_s$  polypeptide chain fragments 235—294 and 337—356 (numbering as of the  $\alpha_s$  long form).